

طراحی بهینه سازه های مخروطی و استوانه ای ساندویچی فیرینگ ماهواره بر با استفاده از الگوریتم ترکیبی

علی مظفری^{1*}, فوزیه مروت², جعفر روشنی یان³, هادی زارع⁴

1- استادیار، مهندسی هواپیما، دانشگاه صنعتی خواجه نصیرالدین طوسی، تهران

2- دانشجوی دکتری، مهندسی هواپیما، دانشگاه صنعتی خواجه نصیرالدین طوسی، تهران

3- استاد، مهندسی هواپیما، دانشگاه صنعتی خواجه نصیرالدین طوسی، تهران

4- دانشجوی دکتری، مهندسی هواپیما، دانشگاه صنعتی شریف، تهران

*هران، 338116765، mozaffari@kntu.ac.ir

چکیده

طراحی بهینه سازه های ساندویچی کامپوزیتی مورد استفاده در فیرینگ ماهواره بر با استفاده از الگوریتم ترکیبی بررسی و ارائه می شود. از آنجا که مدرنترین فیرینگ ها از لایه های ساندویچی کامپوزیت ساخته می شوند، در این پژوهش ساختار سازه فیرینگ بر اساس بوزته ساندویچی کامپوزیتی با هسته انعطاف پذیر تحلیل شده است. از طرفی ساختار فیرینگ از نظر هندسه از دو بخش مخروطی و استوانه ای تشکیل می شود. برای این منظور، در فاز اول، تحلیل کمانش سازه مخروطی ساندویچی کامپوزیت با استفاده از تئوری های مرتبه بالا انجام گرفت و معادلات بدست آمده برای بخش استوانه ای، با صفر کردن نیمه زاویه رأس مخروط بدست می آید. در فاز دوم، سازه استخراج شده با استفاده از الگوریتم ترکیبی مورد بهینه سازی قرار گرفت. به واسطه تعدد و پیچیدگی متغیرهای طراحی در سازه های ساندویچی کامپوزیتی، فرایند طراحی مهندسی به مشکلات و سختی هایی در مسائل بهینه سازی طراحی منجر می شود. از آنجایی که مهمترین دیسیلین انتخابی برای بهینه سازی جرم ماهواره بر، دیسیلین سازه است، لذا با تکیه بر بهینه سازی سازه پس از انجام فرایند بهینه سازی در نهایت کاهش جرم قابل ملاحظه ناشی از تغییر جنس و بهینه سازی بطور همزمان، حدود 40 درصد نسبت به فیرینگ مورد استفاده (فیرینگ سفیر) در این پژوهش بدست آمد.

اطلاعات مقاله

مقاله پژوهشی کامل

دریافت: 07 آذر 1394

پذیرش: 14 بهمن 1394

ارائه در سایت: 07 فروردین 1395

کلید واژگان:

سازه ساندویچی کامپوزیتی

فیرینگ

ماهواره بر

بهینه سازی

الگوریتم ترکیبی

Design Optimization of Fairing Sandwich Cylindrical and Conical Structures for Launch Vehicles, Using Hybrid Algorithm

Ali Mozaffari^{1*}, Foozieh Morovat¹, Jafar Roshanian¹, Hadi Zare²

1- Department of Aerospace Engineering, K.N.T University of Technology, Tehran, Iran.

2- Department of Aerospace Engineering, Sharif University of Technology, Tehran, Iran.

*P.O.B. 338116765, Tehran, Iran, mozaffari@kntu.ac.ir

ARTICLE INFORMATION

Original Research Paper
Received 28 November 2015
Accepted 03 February 2016
Available Online 26 March 2016

Keywords:
Composite sandwich structure
Fairing
Launch vehicle
Optimization
Hybrid algorithm

ABSTRACT

In this study, optimum design of composite sandwich structures will be surveyed and presented using hybrid algorithm. Since, most modern payload fairings are constructed of a composite sandwich laminate, in this research the architecture of the fairing structure has been analyzed on the basis of the composite sandwich shell with a flexible core. However, from the geometrical point of view, fairing composed of two conical and cylindrical parts. Therefore, in the first phase, buckling analysis of conical composite sandwich shell has been done by using high-order theories and the obtained equations reduce to the governing equations of cylindrical sandwich shell when the semi-cone angle is set equal to zero. In the second phase, the obtained structure was optimized using hybrid algorithm. Due to the variety and complexity of design variables in composite sandwich structures, engineering design process leads to difficulties and obstacles in design optimization problems. Since, the most important selected discipline for improvement the mass specifications of launch vehicle is structure, therefore, relying on structural optimization, after optimization process, finally considerable mass reduction i.e. 40 percent comparing to the utilized fairing in this study (Fairing of Safir), will be concluded due to simultaneous changing of material and optimization.

می شود، محموله متشکل از ماهواره، آپاچر و فیرینگ است. مهمترین بخش سازه ماهواره بر، فیرینگ است. از نظر هندسی فیرینگ از دو قسمت تشکیل می شود؛ بخش پایینی استوانه ای شکل است با طول و قطر مشخص و بخش بالایی یک المان نوک تیز یا پرتاپهای شکل یا یک مخروط ناقص همراه با یک کلاهک کروی شکل است (شکل 1). از آنجایی که فیرینگ در جلوی حامل

فیرینگ ماهواره بر، پوشش محافظتی است که بر روی مرحله دوم نصب شده و ماهواره را در بر می گیرد و از آن در برابر شرایط نامساعد محیطی محافظت می نماید. این پوشش به محض خروج از جو باز و جدا شده، سپس به زمین برگشته و در جو می سوزد. بخش محموله بر روی مرحله دوم ماهواره بر نصب

Please cite this article using:

A. Mozaffari, F. Morovat, J. Roshanian, H. Zare, Design Optimization of Fairing Sandwich Cylindrical and Conical Structures for Launch Vehicles, Using Hybrid Algorithm, *Modares Mechanical Engineering*, Vol. 16, No. 3, pp. 331-341, 2016 (in Persian)

برای ارجاع به این مقاله از عبارت ذیل استفاده نمایید:

کامپوزیتی با استفاده از تئوری‌های مرتبه بالا انجام می‌گیرد که نتایج بدست آمده برای بخش استوانه‌ای با صفر کردن نیم‌زاویه رأس مخروط استخراج می‌شود. ابعاد هندسی استفاده شده در این پژوهش برای بخش‌های مخروطی و استوانه‌ای، ابعاد فیرینگ ماهواره‌بر سفیر می‌باشد که از مرجع [1] استخراج شده است.

2- مرواری بر فعالیت‌های اخیر پیوسته سازه‌های ساندویچی مخروطی شکل

در سال‌های اخیر، برای پیشبرد طراحی و تحلیل سازه‌های ساندویچی کامپوزیتی؛ فعالیت‌های مهمی انجام گرفته است.

آقایان تانگ و وانگ [2]، برای تحلیل کمانش پوسته‌های مخروطی ورقایی تحت بار فشاری محوری و فشار خارجی با استفاده از تئوری پوسته دائل حل بر مبنای سری‌های توانی را پیشنهاد کردند. پس از آن آقای سوفیه [3]، یک فرمول تحلیلی برای کمانش پوسته مخروطی ارتوتروپیک با ضخامت متغیر در معرض فشار خارجی وابسته به زمان پیدا کرد. او در کار خود، برای بدست آوردن حل از تئوری پوسته دائل و روش گالرکین استفاده کرد. در همین راستا زانگ و همکارش [4] با استفاده از یک تئوری مرتبه بالا، تحلیل کمانش پوسته‌های مخروطی و استوانه‌ای ساندویچی با هسته انعطاف‌پذیر را انجام دادند و از مقایسه نتایج خود با محاسبات المان محدود و کارهای مشابه به نتایج خوبی دست یافتند.

لوسانی [5] با استفاده از تئوری پوسته دائل، یک روش ساده و دقیق برای تحلیل کمانش خطی پوسته‌های مخروطی فانکشنال تحت بارهای فشاری و فشار خارجی ارائه نمود.

سپس شادمهری [6]، یک روش نیمه تحلیلی برای بدست آوردن جواب کمانش خطی پوسته‌های مخروطی کامپوزیتی تحت بار فشاری محوری پیشنهاد کرد. پس از آن سوفیه [7] با استفاده از تئوری تغییرشکل برشی مرتبه اول، ارتعاش و کمانش پوسته‌های استوانه‌ای ساندویچی را با انواع مختلف پوشش‌ها و تحت فشار هیدروستاتیک یکنواخت بررسی کرد. در خصوص تئوری‌های مرتبه بالای سازه‌های ساندویچی، رحمانی [8] ارتعاش پوسته استوانه‌ای ساندویچی کامپوزیتی با هسته انعطاف‌پذیر را با استفاده از تئوری مرتبه بالای پنل ساندویچی مورد مطالعه قرار داد. تئوری مرتبه بالای بهبود یافته صفحه ساندویچی، با به کار بردن تئوری تغییرشکل برشی مرتبه اول در رویه‌ها توسط ملک زاده [9] معرفی شد. پس از آن ملک‌زاده و همکارش [10] با استفاده از همین تئوری، تحلیل کمانش یک پنل مخروط ناقص ساندویچی کامپوزیتی با شرایط مرزی تکیه‌گاه ساده و دوسرگیردار را انجام دادند و نتایج خود را با روش المان محدود بدست آمده با نرم‌افزار آباکوس² و تحقیقات گذشته مورد مقایسه و ارزیابی قرار دادند. در همین راستا آقای بیگلری [11] تئوری پنل ساندویچی مرتبه بالای تصحیح شده را برای بررسی پنل‌های ساندویچی خمیده با هسته انعطاف‌پذیر پیشنهاد داد. سپس سیدی و همکارانش [12] برای تحلیل کمانش وابسته به دمای یک پوسته مخروطی ساندویچی با رویه‌هایی از جنس مواد هدفمند تابعی³ و هسته انعطاف‌پذیر، یک تئوری مرتبه بالای بهبود یافته ارائه نمودند که پس از مقایسه با روش المان محدود و کارهای انجام شده به نتایج خوبی دست یافتند.

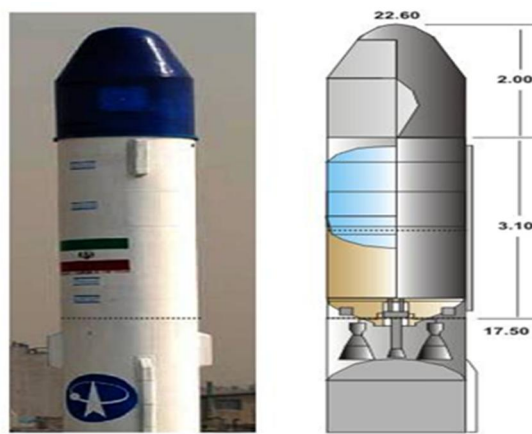


Fig. 1 Fairing of the SAFIR's launch vehicle [1]

شکل 1 فیرینگ ماهواره‌بر سفیر [1]

مستقر شده، لذا ساختار آن بایستی از سفتی بالایی برخوردار باشد تا بتواند در برابر نیروهای آیرودینامیکی مقاومت کرده و از خمش بیش از اندازه آن جلوگیری نماید. بر طبق آخرین تحقیقات انجام شده، مدرنترین فیرینگ‌ها از لایه‌های ساندویچی کامپوزیتی (عمولاً رویه‌های کربن اپوکسی بر روی یک هسته فوم یا لانه زنبوری) ساخته می‌شوند. زیرا سازه‌های ساندویچی کامپوزیتی الزامات مقاومت، کمانش، فلاپر و آکوستیک را برآورده می‌سازد. در دهه گذشته، کاربرد پوسته‌های ساندویچی در صنایع هوافضا از جمله وسایل پرنده فراسوت و فضایپماها بسیار گسترش یافته و کماکان روبه افزایش است. هرچند که بزرگترین چالش در طراحی سازه‌های ساندویچی، مدیریت نمودن تعداد زیادی از متغیرهای طراحی است، اما می‌توان انتخاب‌های طراحی مناسبی را سریعتر و با قابلیت اطمینان بالاتری بدست آورد. سازه‌های ساندویچی مدرن عموماً از دو رویه کامپوزیتی و یک هسته از جنس فوم یا لانه زنبوری با مقاومت کم تشکیل می‌شوند. انعطاف‌پذیری بالای هسته در این سازه‌ها منجر به اختلاف در میزان جابجایی در رویه‌های بیرونی و درونی شده و در اثر تغییر در ارتفاع هسته، جابجایی در سطح مقطع از الگویی غیرخطی تعییت می‌نماید.

امروزه استفاده از سازه‌های ساندویچی با توجه به مزایای متعددی همچون نسبت استحکام به وزن و سفتی به وزن بالا در مصارف مهندسی بسیار رایج و متداول شده است. از جمله کاربردهای این نوع سازه‌ها می‌توان در بدنه اجسام پرنده مانند هواپیما، موشک‌ها و فضایپماها، بدنه کشتی‌ها و قطارها، خودروها و سازه‌های ساختمانی مشاهده کرد. در هر سازه‌ای بارهای متنوعی به اجزاء مختلف سازه اعمال می‌شود. در این میان بارهای فشاری به دلیل ایجاد ناپایداری هندسی در سازه، حتی قبل از رسیدن به تسلیم یا شکست سازه از اهمیت بسیار بالایی برخوردارند. برای سازه‌های تحت بارگذاری فشاری، موقعیتی وجود دارد که اگر مقدار بار به اندازه بسیار کوچک افزایش یابد، باعث ایجاد تغییرشکل بزرگی در سازه می‌گردد. به این تغییر شکل عرضی ناگهانی یا همان ناپایداری هندسی در اثر اعمال بار فشاری، پدیده کمانش و به بار موثر آن، بار بحرانی کمانش می‌گویند. حال اگر بارگذاری افزایش یابد، رفتار سازه تا جایی ادامه می‌یابد که دچار واماندگی گردد. لذا بررسی و تحلیل کمانش و محاسبه بارهای بحرانی در سازه‌های مختلف، از جمله مهمترین موضوعاتی است که دانشمندان و مهندسین به آن می‌پردازنند.

در فاز اول این پژوهش، تحلیل کمانش سازه مخروطی ناقص ساندویچی

1- Donnell-type shell theory

2- ABAQUS

3- Functionally Graded

گرفته است. نمونه مورد مطالعه در این پژوهش فیرینگ ماهواره بر سفیر می باشد که پس از تحلیل سازه ای و نهایتاً بهینه سازی وزنی، نتایج قابل قبول و خوبی بدست آمده است.

3- تحلیل کمانش سازه مخروطی ناقص ساندویچی با هسته میانی انعطاف پذیر

3-1- استخراج معادلات تعادل پوسته مخروطی ساندویچی

از آنجا که تئوری های متداول قادر به پیش بینی اثرات موضعی و تغییر شکل های دقیق در راستای هسته نیستند، استفاده از یک مدل تحلیلی مرتبه بالا که قادر به لحاظ کردن اثرات انعطاف پذیری هسته باشد، ضروری است. به همین منظور در این پژوهش، مدل مرتبه بالای بهبود یافته پوسته ساندویچی² که توسط ملکزاده ارائه شده، پیشنهاد می شود. این رویکرد، نخستین بار توسط فروستیگ مطرح شد و سپس، ملکزاده آن را بهبود بخشید. در این تئوری برخلاف تئوری های متداول، هیچ محدودیتی بر میدان جابجایی هسته اعمال نمی گردد و اثرات مرتبه بالا پس از حل مسئله ظاهر می گرددن. لازم به ذکر است در سال های اخیر، تئوری مرتبه بالای سازه های ساندویچی، بیشتر در بررسی تیرها و صفحات به کار گرفته شده و کمتر تحقیقی مبنی بر استفاده از این تئوری در پوسته های مخروطی ساندویچی مشاهده شده است.

معادلات حرکت پوسته ساندویچی کامپوزیتی از روش انرژی و به کمک اصل هامیلتون استخراج شده و پس از آن کمانش سازه تحلیل خواهد شد.

3-1-1- هندسه مسئله

پوسته مورد مطالعه به صورت مخروط ساندویچی ناقص است که از دو رویه چند لایه کامپوزیتی و هسته میانی انعطاف پذیر تشکیل شده است. ضخامت کل سازه h و طول آن L و ضخامت رویه بیرونی، هسته میانی و رویه داخلی به ترتیب برابر d_t ، d_c و d_b است. در شکل 2، پوسته مورد مطالعه به همراه دستگاه مختصات مربوطه نشان داده شده است.

α ، نیم زاویه رأس مخروط است. مختصه x در راستای یال مخروط بوده و از قسمت میانی طول مخروط شروع می شود و جهت مثبت آن به سمت مقطع بزرگتر مخروط است. مختصه θ در جهت محیطی و مختصه Z در راستای ضخامت بوده و از لایه میانی رویه ها و هسته شروع شده و جهت مثبت آن به سمت بیرون مخروط است. لازم بذکر است سازه مورد نظر، تحت بار محوری فشاری $p(N)$ و فشار خارجی گستره عمود بر سطح $q(Pa)$ قرار دارد. R_1 و R_2 شعاع های رویه های بیرونی و داخلی در قسمت میانی طول مخروط و در راستای عمود بر آن هستند، روابط (1) نیز برای شعاع در هندسه مورد نظر برقرار است:

$$\begin{aligned} R_t &= R_2 + x \sin\alpha = r_t \cos\alpha \\ R_b &= R_1 + x \sin\alpha = r_b \cos\alpha \\ r_{tc} &= r_t - \frac{d_t}{2} \\ r_{bc} &= r_b + \frac{d_b}{2} \end{aligned} \quad (1)$$

روابط سینماتیکی و ساختاری پوسته ساندویچی استوانه ای در مرجع [8] آمده است. با استفاده از آنها، روابط سینماتیکی کرنش ها در رویه های بیرونی و داخلی پوسته ساندویچی مخروطی به شکل (2) تعریف می گردند:

پس از بررسی تحلیل کمانش سازه های ساندویچی، به مطالعه کارهای انجام شده در حوزه بهینه سازی سازه پرداخته شد، که اهم آنها به شرح زیر می باشد:

دالگاس [13] در رساله دکترای خود با استفاده از الگوریتم ژنتیک با هدف مینیمم وزن و هزینه حامل، بهینه سازی طراحی یک ماهواره بر فضایی چند مرحله ای به مدار را انجام داد. این کار اولین تلاش برای مینیمم کردن هزینه ماهواره بر ساخته جامد در سطح طراحی مقدماتی با استفاده از الگوریتم ژنتیک بود. پس از آن سلیمی و همکارانش [14]، به ارائه یک طرح بهینه از سازه های دریایی ساندویچی کامپوزیتی در معرض انفجار زیرآب پرداخت. فرایند بهینه سازی با استفاده از الگوریتم ژنتیک مرتبط با روش المان محدود برای تحلیل سازه های انجام شده است.

یوان [15]، بدن وسایل پرنده را با یک پوسته کامپوزیتی ساندویچی طراحی کرد و بهینه سازی سازه ای آن را با استفاده از مدل المان محدود وتابع هدف مینیمم وزن انجام داد. قیود شامل پایداری سازه ای و معیارهای خارجی کامپوزیت است. سپس او [16]، بهینه سازی استوانه های ساندویچی قابل کاربرد در بدن هواپیما را انجام داد. آنها روش جامع بهینه سازی الگوریتم ژنتیک و روش بردار انتقال آکوستیک را برای مینیمم کردن فشار داخلی بدن توسعه دادند. او نشان داد که این روش بهینه سازی می تواند کارایی محاسبات را بهبود دهد و یک توافق خوب بین وزن، عملکرد مکانیکی و خواص آکوستیک بدن ساندویچی ایجاد می کند. در همان سال اولاًه و همکارانش [17]، رویکردی را برای طراحی مفهومی و ارزیابی ماهواره بر با استفاده از آنالیز تصمیم گیری چند مخصوصه ارائه نمودند. کاربرد موفق روش پیشنهادی در طراحی مفهومی و ارزیابی ماهواره بر، کاربردش را در فاز اولیه طراحی و تصمیم گیری سیستم های هوافضایی نشان می دهد. بنجی ما و همکارانش [18] در مقاله خود، شکل و گرادیان مواد سازه های داغ نوک تیز را به منظور دستیابی به شرایط پروازی مأوفه صوت، مورد طراحی و بهینه سازی قرار داده اند. الگوریتم ژنتیک برای بهینه سازی شکل سازه به کار رفته و از نرم افزار آباکوس برای شبیه سازی توزیع دما و تنش با توزیع های گرادیان مواد مختلف بر روی سازه استفاده کرده اند و در نهایت توزیع بهینه گرادیان مواد برای سازه داغ نوک تیز پیشنهاد شده است. سپس ابراهیمی و وحدت آزاد [19]، به تحلیل حساسیت و بهینه سازی چند دهده فی ستون های استوانه های ساندویچی لانه زنبوری تحت بارهای برخورد محوری پرداخت. آنها مدل های مختلف از این سازه را با الگوریتم PSO¹ برای رسیدن به ماکریم توانایی جذب انرژی و مینیمم نیروی برخورد بهینه سازی کردند.

باروتاچی و همکارانش [20] لوله های ساندویچی جدار نازک با هسته فوم الومینیومی تحت بارگذاری جانبی را به عنوان سیله جذب انرژی مورد بررسی و مطالعه قرار دادند. پس از فرایند بهینه سازی، لوله با مینیمم قطر لایه داخلی و ماکریم ضخامت فوم، مناسب ترین حالت برای استفاده به عنوان ترکیبات جذب انرژی هستند.

بنابراین، هیچ گونه تحقیقی مبنی بر بهینه سازی پوسته های مخروط ناقص ساندویچی کامپوزیتی با هسته انعطاف پذیر و تحت بار ترکیبی انجام نشده است. در این تحقیق، بارگذاری ترکیبی بوسیله بار فشاری محوری و فشار یکنواخت خارجی اعمال شده، سپس برای تحلیل کمانش پوسته های ساندویچی از یک تئوری مرتبه بالای بهبود یافته استفاده شده است. پس از آن سازه استخراج شده با استفاده از الگوریتم ترکیبی مورد بهینه سازی قرار

$$\begin{aligned} \bar{u}_c(r=r_{tc}) &= \bar{u}_{ct} = u_t - \frac{d_t}{2} \psi_{xt} \\ \bar{v}_c(r=r_{tc}) &= \bar{v}_{ct} = v_t - \frac{d_t}{2} \psi_{\theta t} \\ \bar{w}_c(r=r_{tc}) &= \bar{w}_{ct} = w_t \end{aligned} \quad (4)$$

در حد فاصل رویه بیرونی و هسته:

$$\begin{aligned} \bar{u}_c(r=r_{bc}) &= \bar{u}_{cb} = u_b + \frac{d_b}{2} \psi_{xb} \\ \bar{v}_c(r=r_{bc}) &= \bar{v}_{cb} = v_b + \frac{d_b}{2} \psi_{\theta b} \\ \bar{w}_c(r=r_{bc}) &= \bar{w}_{cb} = w_b \end{aligned} \quad (5)$$

در حد فاصل رویه داخلی و هسته:

$$\delta(U+V)=0 \quad (6)$$

که در این رابطه U انرژی پتانسیل و V کار نیروهای خارجی است. تغییرات مرزی اول انرژی پتانسیل پوسته ساندویچی مخروطی را می‌توان به شکل رابطه (7) نمایش داد:

$$\begin{aligned} \delta U = \iiint_{V_t} (\sigma_{xxt} \delta \epsilon_{xxt} + \delta \theta_{\theta t} \delta \epsilon_{\theta \theta t} + \tau_{x \theta t} \delta \gamma_{x \theta t} \\ + \tau_{x z t} \delta \gamma_{x z t} + \tau_{\theta z t} \delta \gamma_{\theta z t}) dV_t \\ + \iiint_{V_b} (\sigma_{xxb} \delta \epsilon_{xxb} + \sigma_{\theta \theta b} \delta \epsilon_{\theta \theta b} + \tau_{x \theta b} \delta \gamma_{x \theta b} \\ + \tau_{x z b} \delta \gamma_{x z b} + \tau_{\theta z b} \delta \gamma_{\theta z b}) dV_b \\ + \iiint_{V_c} (\tau_{xrc} \delta \epsilon_{xrc} + \tau_{\theta rc} \delta \epsilon_{\theta rc} + \sigma_{rrc} \delta \epsilon_{rrc}) dV_c \end{aligned} \quad (7)$$

که در این روابط σ_{xxi} , $\sigma_{\theta \theta i}$, $\tau_{x \theta i}$ ($i = t, b$) تنש‌های عمودی و برشی درون صفحه‌ای رویه‌های بیرونی و داخلی و $\tau_{x z i}$ و $\tau_{\theta z i}$ تنش‌های برشی برون صفحه‌ای هستند و ϵ_{xxi} و $\epsilon_{\theta \theta i}$ و $\epsilon_{x \theta i}$ کرنش‌های درون صفحه‌ای رویه‌های بیرونی و داخلی و $\gamma_{x z i}$ و $\gamma_{\theta z i}$ کرنش‌های برون صفحه‌ای هستند. همچنین σ_{rrc} و $\tau_{\theta rc}$ و τ_{xrc} و $\tau_{\theta rc}$ و τ_{xrc} تنش‌های شعاعی و برشی و کرنش‌های موجود در هسته هستند، مؤلفه‌های تنش درون صفحه‌ای شامل σ_{xxc} و $\sigma_{\theta \theta c}$ و $\tau_{x \theta c}$ در هسته نادیده گرفته شده است.

در پنل‌های ساندویچی با هسته نرم عموماً مدول الاستیسیته هسته تا هزار برابر کوچکتر از مدول رویه‌ها است و همین موضوع باعث می‌شود تنش‌های ایجاد شده در صفحه $x\theta$ عموماً توسعه رویه‌ها تحمل شود. مؤلفه‌های تنش در راستای عمودی در هسته مقادیر قابل توجهی دارند که لازمت است معادله انرژی لحاظ شوند. لازم به ذکر است فرض مذکور باعث ساده‌سازی معادلات تعادل در هسته می‌شود که امکان حل تحلیلی آن بوجود می‌آید.

تغییرات کار نیروهای خارجی را می‌توان به شکل رابطه (8) نمایش داد:

$$\delta V = - \int_{-l/2}^{l/2} \int_{\theta} (q_r^t R_t \delta W_t + q_r^b R_b \delta W_b + q_x^t R_t \delta U_t \\ + q_x^b R_b \delta U_b + q_\theta^t R_t \delta V_t + q_\theta^b R_b \delta V_b) dx d\theta \quad (8)$$

که در این رابطه w_i , v_i و u_i مؤلفه‌های جابجایی رویه‌ها و q_r^i , q_θ^i و q_x^i مؤلفه‌های نیروهای گسترده اعمالی بر رویه‌های بیرونی و داخلی پوسته هستند.

با بهره‌گیری از روابط حاصله و اعمال اصل هامیلتون معادلات تعادل پوسته ساندویچی مخروطی به صورت روابط (9) استخراج می‌شود:

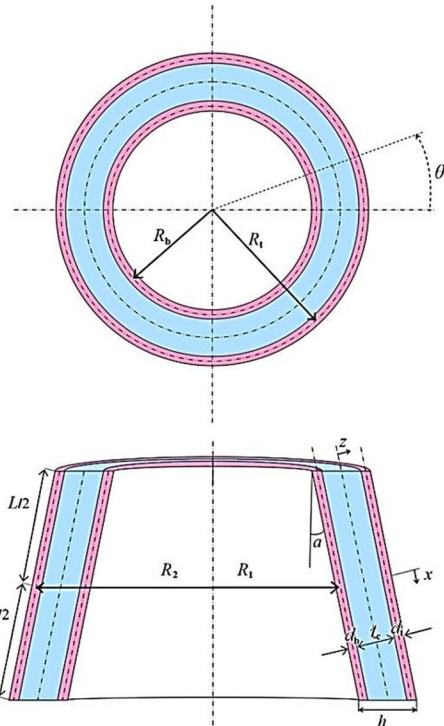


Fig. 2 هندسه و دستگاه مختصات پوسته مخروطی ساندویچی

شکل 2 هندسه و دستگاه مختصات پوسته مخروطی ساندویچی

$$\begin{aligned} \epsilon_{xxi} &= \epsilon_{xx0i} + Z_i k_{xxi} \\ \epsilon_{\theta \theta i} &= \epsilon_{\theta \theta 0i} + Z_i k_{\theta \theta i} \\ \gamma_{x \theta i} &= \gamma_{x \theta 0i} + Z_i k_{x \theta i} \\ \epsilon_{\theta z i} &= \psi_{\theta i} + \frac{W_{i,\theta} - v_i \cos \alpha}{R_i} \\ \epsilon_{x z i} &= \psi_{xi} + w_{i,x} \\ \epsilon_{z z i} &= 0 \end{aligned} \quad (2)$$

که در این روابط u_i , v_i و w_i مؤلفه‌های تغییر مکان در صفحه میانی رویه‌ها و ψ_{xi} و $\psi_{\theta i}$ مؤلفه‌های چرخش در رویه‌ها می‌باشند. با استفاده از روابط تش- جابجایی در هسته [8]، روابط ساختاری در هسته پوسته مخروطی ساندویچی بصورت رابطه (3) بدست می‌آید:

$$\begin{aligned} \tau_{\theta rc} &= v_{c,r} + \frac{W_{c,\theta} - v_c \cos \alpha}{R}, \quad \epsilon_{rrc} = w_{c,r} \\ \tau_{xrc} &= w_{c,x} + u_{c,r} \end{aligned} \quad (3)$$

2-3- شرایط سازگاری

اتصال کامل هسته و رویه‌ها در حین پدیده‌های خمش و کمانش یکی از مهمترین فرضیه‌های لازم برای استخراج معادلات است. با توجه به اینکه از انواع فوم برای ساخت پنل‌های ساندویچی با هسته انعطاف‌پذیر استفاده می‌شود، فرض می‌شود چسی که برای اتصال رویه‌ها و هسته استفاده شده، در هیچ یک از حالات دچار واماندگی نمی‌شود و همواره اتصال رویه‌ها و هسته برقرار است. از این رو لازمست قیود مناسب این فرض در معادلات اعمال شود. بدین معنی که هر یک از سه مؤلفه جابجایی متناظر هسته برای رویه بیرونی در محل اتصال با هسته با سه مؤلفه جابجایی متناظر هسته برابر است. به همین ترتیب این قید در محل اتصال هسته با رویه داخلی هم اعمال می‌شود.

شرایط سازگاری که مؤید پیوستگی جابجایی‌ها در حد فاصل رویه‌ها و هسته هستند، بصورت روابط (5,4) (5 درنظر گرفته می‌شوند):

به منظور حل معادلات حاکم بر پوسته مخروطی ساندویچی با هسته انعطاف‌پذیر ابتدا مقادیر مربوط به منتجه‌های تنش و گشتاور بر حسب مؤلفه‌های جابجایی روبه‌ها در راستاهای طولی، محیطی و شعاعی در معادلات مذکور جایگذاری می‌شود. پس از انجام مراحل فوق سیستم معادلات دیفرانسیلی جزئی مربوط به حرکت سازه مطابق معادلات (21-12) به شکلی که در ادامه آمده است، به دست می‌آید.

$$\begin{aligned} & -A_{11t}[u_{t,x}\sin\alpha + R_t u_{t,xx}] - A_{12t}[v_{t,x\theta} + w_{t,x}\cos\alpha] \\ & - A_{16t}[R_t v_{t,xx} + 2u_{t,x\theta}] - B_{11t}[\Psi_{xt,x}\sin\alpha + R_t \Psi_{xt,xx}] \\ & - B_{12t}\Psi_{\theta t,x\theta} - B_{16t}[R_t \Psi_{\theta t,xx} + 2\Psi_{xt,x\theta}] \\ & + A_{22t}\frac{\sin\alpha}{R_t}[v_{t,\theta} + u_t \sin\alpha + w_t \cos\alpha] \\ & + A_{26t}\left[v_{t,x}\sin\alpha - \frac{\sin^2\alpha}{R_t}v_t - \frac{1}{R_t}(v_{t,\theta\theta} + w_{t,\theta}\cos\alpha)\right] \\ & + B_{22t}\frac{\sin\alpha}{R_t}\left[\Psi_{\theta t,x}\sin\alpha - \frac{\sin^2\alpha}{R_t}\Psi_{\theta t} - \frac{1}{R_t}\Psi_{\theta t,\theta\theta}\right] \\ & - A_{66t}\left[v_{t,x\theta} + \frac{1}{R_t}(u_{t,\theta\theta} - v_{t,\theta}\sin\alpha)\right] \\ & - B_{66t}\left[\Psi_{\theta t,x\theta} + \frac{1}{R_t}(\Psi_{xt,\theta\theta} - \Psi_{\theta t,\theta}\sin\alpha)\right] \\ & + \tau_x(\theta, x)\cos\alpha = 0 \quad (12) \end{aligned}$$

$$\begin{aligned} & -A_{11b}[u_{b,x}\sin\alpha + R_b u_{b,xx}] - A_{12b}[v_{b,x\theta} + w_{b,x}\cos\alpha] \\ & - A_{16b}[R_b v_{b,xx} + 2u_{b,x\theta}] - B_{11b}[\Psi_{xb,x}\sin\alpha + R_b \Psi_{xb,xx}] \\ & - B_{12b}\Psi_{\theta b,x\theta} - B_{16b}[R_b \Psi_{\theta b,xx} + 2\Psi_{xb,x\theta}] \\ & + A_{22b}\frac{\sin\alpha}{R_b}[v_{b,\theta} + u_b \sin\alpha + w_b \cos\alpha] \\ & + A_{26b}\left[v_{b,x}\sin\alpha - \frac{\sin^2\alpha}{R_b}v_b - \frac{1}{R_b}(v_{b,\theta\theta} + w_{b,\theta}\cos\alpha)\right] \\ & + B_{22b}\frac{\sin\alpha}{R_b}[\Psi_{\theta b,\theta} + \Psi_{xb}\sin\alpha] \\ & + B_{26b}\left[\Psi_{\theta b,x}\sin\alpha - \frac{\sin^2\alpha}{R_b}\Psi_{\theta b} - \frac{1}{R_b}\Psi_{\theta b,\theta\theta}\right] \\ & - A_{66b}\left[v_{b,x\theta} + \frac{1}{R_b}(u_{b,\theta\theta} - v_{b,\theta}\sin\alpha)\right] \\ & - B_{66b}\left[\Psi_{\theta b,x\theta} + \frac{1}{R_b}(\Psi_{xb,\theta\theta} - \Psi_{\theta b,\theta}\sin\alpha)\right] \\ & - \tau_x(\theta, x)\cos\alpha = 0 \quad (13) \end{aligned}$$

$$\begin{aligned} & -A_{12t}u_{t,x\theta} - A_{22t}\frac{1}{R_t}[v_{t,\theta\theta} + u_{t,\theta}\sin\alpha + w_{t,\theta}\cos\alpha] \\ & - A_{26t}\left[2v_{t,x\theta} + u_{t,x}\sin\alpha + w_{t,x}\cos\alpha + \frac{1}{R_t}u_{t,\theta\theta}\right. \\ & \quad \left. + \frac{\sin\alpha}{R_t}(u_t \sin\alpha + w_t \cos\alpha)\right] \\ & - B_{12t}\Psi_{xt,x\theta} - B_{22t}\frac{1}{R_t}[\Psi_{\theta t,\theta\theta} + \Psi_{xt,\theta}\sin\alpha] \\ & - B_{26t}\left[2\Psi_{\theta t,x\theta} + \Psi_{xt,x}\sin\alpha + \frac{1}{R_t}\Psi_{xt,\theta\theta} + \frac{\sin^2\alpha}{R_t}\Psi_{xt}\right] \\ & - A_{16t}[2u_{t,x}\sin\alpha + R_t u_{t,xx}] - A_{66t}\left[v_{t,x}\sin\alpha + R_t v_{t,xx}\right. \\ & \quad \left. + u_{t,x\theta} + \frac{\sin\alpha}{R_t}(u_{t,\theta} - v_{t,\theta}\sin\alpha)\right] \\ & - B_{16t}[2\Psi_{xt,x}\sin\alpha + R_t \Psi_{xt,xx}] - B_{66t}\left[\Psi_{\theta t,x}\sin\alpha + \Psi_{xt,x\theta}\right. \\ & \quad \left. + R_t \Psi_{\theta t,xx} + \frac{\sin\alpha}{R_t}(\Psi_{xt,\theta} - \Psi_{\theta t,\theta}\sin\alpha)\right] \\ & - kG_{\theta zt}d_t\left(\Psi_{\theta t} + \frac{w_{t,\theta} - v_{t,\theta}\cos\alpha}{R_t}\right)\cos\alpha \\ & + \frac{\tau_\theta(\theta, x)}{r_{tc}}\cos\alpha = 0 \quad (14) \end{aligned}$$

$$\begin{aligned} & -A_{11t}\sin\alpha - A_{12t}\cos\alpha + q R_i = 0 \\ & -A_{16t}\sin\alpha - A_{11t}\cos\alpha + q R_i = 0 \\ & 2A_{11t}\sin\alpha + A_{16t}\cos\alpha + q R_i = 0 \\ & \nabla^b_9 s - r_b \Lambda^b \theta^+ + \alpha = 0 \\ & N_t^t \cos\alpha - Q_{xzt} \sin\alpha - R_t Q_{xzt,x} - Q_{\theta zt,\theta} \\ & \quad \left[(R_t N_x^t w_{t,x} + N_{x\theta}^t w_{t,\theta})_x \right. \\ & \quad \left. + \left(\frac{1}{R_t} N_\theta^t w_{t,\theta} + N_{x\theta}^t w_{t,x} \right)_\theta \right] \\ & N_t^b \cos\alpha - N_{x\theta}^b \sin\alpha - R_t Q_{xzb} - M_{\theta zt} - M_{\theta zt} \sin\alpha \\ & \quad + r_b \cos\alpha - r_b \sin\alpha = 0 \\ & R_b Q_{xzb} - M_{\theta zt} - M_{\theta zt} \sin\alpha = 0 \\ & R_t Q_{\theta zt} - M_{\theta zt} - M_{\theta zt} \sin\alpha = 0 \\ & R_b Q_{\theta zb} - M_{\theta zb} - M_{\theta zb} \sin\alpha = 0 \\ & \tau_{\theta rc} \cos\alpha + (r \tau_{\theta rc} \cos\alpha)_{,r} = 0 \\ & (r \tau_{\theta rc} \cos\alpha)_{,r} = 0 \\ & (r \tau_{\theta rc} \cos\alpha)_{,x} + \tau_{\theta rc,\theta} + (r \sigma_{rrc} \cos\alpha)_{,r} = 0 \quad (9) \end{aligned}$$

که M_{kl}^i و N_{kl}^i متغیرهای نیرو و گشتاور می‌باشند و بصورت روابط (10) تعریف می‌گردند [21]:

$$\begin{aligned} (N_x^i, N_\theta^i, N_{x\theta}^i) &= \int_{-d_i/2}^{d_i/2} (\sigma_{xxi}, \sigma_{\theta\theta i}, \tau_{x\theta i}) dz_i \\ (M_x^i, M_\theta^i, M_{x\theta}^i) &= \int_{-d_i/2}^{d_i/2} (\sigma_{xxi}, \sigma_{\theta\theta i}, \tau_{x\theta i}) z_i dz_i \quad (10) \end{aligned}$$

که پس از جایگذاری روابط ساختاری در این معادلات، متغیرهای نیرو و گشتاور به صورت رابطه (11) تغییر می‌یابند:

$$\begin{aligned} \begin{Bmatrix} N_x^i \\ N_\theta^i \\ N_{x\theta}^i \end{Bmatrix} &= \begin{Bmatrix} A_{11i} & A_{12i} & A_{16i} \\ A_{12i} & A_{22i} & A_{26i} \\ A_{16i} & A_{26i} & A_{66i} \end{Bmatrix} \begin{Bmatrix} \varepsilon_{xx0,i} \\ \varepsilon_{\phi\phi0,i} \\ \gamma_{x\phi0,i} \end{Bmatrix} \\ & + \begin{Bmatrix} B_{11i} & B_{12i} & B_{16i} \\ B_{12i} & B_{22i} & B_{26i} \\ B_{16i} & B_{26i} & B_{66i} \end{Bmatrix} \begin{Bmatrix} K_{xx0,i} \\ K_{\phi\phi0,i} \\ K_{x\phi0,i} \end{Bmatrix} \\ \begin{Bmatrix} M_x^i \\ M_\theta^i \\ M_{x\theta}^i \end{Bmatrix} &= \begin{Bmatrix} B_{11i} & B_{12i} & B_{16i} \\ B_{12i} & B_{22i} & B_{26i} \\ B_{16i} & B_{26i} & B_{66i} \end{Bmatrix} \begin{Bmatrix} \varepsilon_{xx0,i} \\ \varepsilon_{\phi\phi0,i} \\ \gamma_{x\phi0,i} \end{Bmatrix} \\ & + \begin{Bmatrix} D_{11i} & D_{12i} & D_{16i} \\ D_{12i} & D_{22i} & D_{26i} \\ D_{16i} & D_{26i} & D_{66i} \end{Bmatrix} \begin{Bmatrix} K_{xx0,i} \\ K_{\phi\phi0,i} \\ K_{x\phi0,i} \end{Bmatrix} \quad (11) \end{aligned}$$

که ماتریس‌های A و B به ترتیب ماتریس سفتی کششی، ماتریس کوبیلینگ خمشی-کششی و ماتریس سفتی خمشی نامیده می‌شوند.

در کنار استخراج معادلات تعادل با استفاده از روش انرژی، شرایط مرزی مربوط به پوسته‌های ساندویچی مخروطی نیز به دست می‌آیند.

4-3- استخراج معادلات حاکم بر حسب مؤلفه‌های جابجایی

$$\begin{aligned}
& - \left[\left(R_b N_{x0}^b w_{b,x} + N_{x\theta 0}^b w_{b,\theta} \right)_{,x} \right. \\
& \quad \left. + \left(\frac{1}{R_b} N_{x\theta 0}^b w_{b,\theta} + N_{x\theta 0}^b w_{b,x} \right)_{,\theta} \right] \\
& - \frac{\tau_{\theta,\theta}}{r_{bc} \cos \alpha} \left[\frac{r_{tc} - r_{bc}}{r_{tc} \ln \left(\frac{r_{bc}}{r_{tc}} \right)} + 1 \right] \cos \alpha \\
& + \tau_{x,x} \left[\frac{r_{tc} - r_{bc}}{\ln \left(\frac{r_{bc}}{r_{tc}} \right)} + r_{bc} \right] \cos \alpha \\
& - \frac{E_c}{\ln \left(\frac{r_{bc}}{r_{tc}} \right)} (w_b - w_t) \cos \alpha = 0 \tag{17}
\end{aligned}$$

$$\begin{aligned}
& -B_{11t} [u_{t,x} \sin \alpha + R_t u_{t,xx}] \\
& -B_{12t} [v_{t,x\theta} + w_{t,x} \cos \alpha] - B_{16t} [R_t v_{t,xx} + 2u_{t,x\theta}] \\
& -D_{11t} [\Psi_{xt,x} \sin \alpha + R_t \Psi_{xt,xx}] - D_{12t} \Psi_{\theta t,x\theta} \\
& -D_{16t} [R_t \Psi_{\theta t,xx} + 2\Psi_{xt,x\theta}] \\
& + B_{22t} \frac{\sin \alpha}{R_t} [v_{t,\theta} + u_t \sin \alpha + w_t \cos \alpha] \\
& + B_{26t} \left[v_{t,x} \sin \alpha - \frac{1}{R_t} v_t \sin^2 \alpha - \frac{1}{R_t} (v_{t,\theta\theta} + w_{t,\theta} \cos \alpha) \right] \\
& + D_{22t} \frac{\sin \alpha}{R_t} [\Psi_{\theta t,t} + \Psi_{xt} \sin \alpha] \\
& + D_{26t} \left[\Psi_{\theta t,x} \sin \alpha - \frac{1}{R_t} \Psi_{\theta t} \sin^2 \alpha - \frac{1}{R_t} \Psi_{\theta t,\theta\theta} \right] \\
& -B_{66t} \left[v_{t,x\theta} \sin \alpha + \frac{1}{R_t} (u_{t,\theta\theta} - v_{t,\theta} \sin \alpha) \right] \\
& -D_{66t} \left[\Psi_{\theta t,x\theta} + \frac{1}{R_t} (\Psi_{xt,\theta\theta} - \Psi_{\theta t,\theta} \sin \alpha) \right] \\
& + R_t k G_{xzt} d_t (\Psi_{xt} + w_{t,x}) - \tau_x(\theta, x) \frac{d_t}{2} \cos \alpha = 0 \tag{18}
\end{aligned}$$

$$\begin{aligned}
& -B_{11b} [u_{b,x} \sin \alpha + R_b u_{b,xx}] - B_{12b} [v_{b,x\theta} + w_{b,x} \cos \alpha] \\
& -B_{16b} [R_b v_{b,xx} + 2u_{b,x\theta}] - D_{11b} [\Psi_{xb,x} \sin \alpha + R_b \Psi_{xb,xx}] \\
& -D_{12b} \Psi_{\theta b,x\theta} - D_{16b} [R_b \Psi_{\theta b,xx} + 2\Psi_{xb,x\theta}] \\
& + B_{22b} \frac{\sin \alpha}{R_b} [v_{b,\theta} + u_b \sin \alpha + w_b \cos \alpha] \\
& + B_{26b} \left[v_{b,x} \sin \alpha - \frac{1}{R_b} v_b \sin^2 \alpha - \frac{1}{R_b} (v_{b,\theta\theta} + w_{b,\theta} \cos \alpha) \right] \\
& + D_{22b} \frac{\sin \alpha}{R_b} [\Psi_{\theta b,x} + \Psi_{xb} \sin \alpha] \\
& + D_{26b} \left[\Psi_{\theta b,x} \sin \alpha - \frac{1}{R_b} \Psi_{\theta b} \sin^2 \alpha - \frac{1}{R_b} \Psi_{\theta b,\theta\theta} \right] \\
& -B_{66b} \left[v_{b,x\theta} + \frac{1}{R_b} (u_{b,\theta\theta} - v_{b,\theta} \sin \alpha) \right] \\
& -D_{66b} \left[\Psi_{\theta b,x\theta} + \frac{1}{R_b} (\Psi_{xb,\theta\theta} - \Psi_{\theta b,\theta} \sin \alpha) \right] \\
& + R_b k G_{xzb} d_b (\Psi_{xb} + w_{b,x}) - \tau_x(\theta, x) \frac{d_b}{2} \cos \alpha = 0 \tag{19}
\end{aligned}$$

$$\begin{aligned}
& -B_{12t} u_{t,x\theta} - B_{22t} \frac{v_{t,\theta\theta} + u_{t,\theta} \sin \alpha + w_{t,\theta} \cos \alpha}{R_t} \\
& -B_{26t} \left[2v_{t,x\theta} + u_{t,x} \sin \alpha + w_{t,x} \cos \alpha \right. \\
& \quad \left. + \frac{u_{t,\theta\theta} + u_t \sin^2 \alpha + w_t \sin \alpha \cos \alpha}{R_t} \right] \\
& -D_{12t} \Psi_{xt,x\theta} - D_{22t} \frac{\Psi_{\theta t,\theta\theta} + \Psi_{xt,\theta} \sin \alpha}{R_t}
\end{aligned}$$

$$\begin{aligned}
& -A_{12b} u_{b,x\theta} - A_{22b} \frac{1}{R_b} [v_{b,\theta\theta} + u_{b,\theta} \sin \alpha + w_{b,\theta} \cos \alpha] \\
& -A_{26b} \left[2v_{b,x\theta} + u_{b,x} \sin \alpha + w_{b,x} \cos \alpha + \frac{1}{R_b} u_{b,\theta\theta} \right. \\
& \quad \left. + \frac{\sin \alpha}{R_b} (u_b \sin \alpha + w_b \cos \alpha) \right] \\
& -B_{12b} \Psi_{xb,x\theta} - B_{22b} \frac{1}{R_b} [\Psi_{\theta b,\theta\theta} + \Psi_{xb,\theta} \sin \alpha] \\
& -B_{26b} \left[2\Psi_{\theta b,x\theta} + \Psi_{xb,x} \sin \alpha + \frac{1}{R_b} \Psi_{xb,\theta\theta} + \frac{\sin^2 \alpha}{R_b} \Psi_{xb} \right] \\
& -A_{16b} [2u_{b,x} \sin \alpha + R_b u_{b,xx}] \\
& -A_{66b} \left[v_{b,x} \sin \alpha + R_b v_{b,xx} + u_{b,x\theta} \right. \\
& \quad \left. + \frac{\sin \alpha}{R_b} (u_{b,\theta} - v_b \sin \alpha) \right] \\
& -B_{16b} [2\Psi_{xb,x} \sin \alpha + R_b \Psi_{xb,xx}] - B_{66b} \left[\Psi_{\theta b,x} \sin \alpha \right. \\
& \quad \left. + \Psi_{xb,x\theta} + R_t \Psi_{\theta b,xx} \right. \\
& \quad \left. + \frac{\sin \alpha}{R_b} (\Psi_{xb,\theta} - \Psi_{\theta b} \sin \alpha) \right] \\
& -k G_{\theta zb} d_b \left(\Psi_{\theta b} + \frac{w_{b,\theta} - v_b \cos \alpha}{R_b} \right) \cos \alpha \\
& -\frac{\tau_\theta(\theta, x)}{r_{bc}} \cos \alpha = 0 \tag{15}
\end{aligned}$$

$$\begin{aligned}
& A_{12t} u_{t,x} \cos \alpha + A_{22t} \frac{\cos \alpha}{R_t} [v_{t,\theta} + u_t \sin \alpha + w_t \cos \alpha] \\
& + A_{26t} \left[v_{t,x} \cos \alpha + \frac{\cos \alpha}{R_t} (u_{t,\theta} - v_t \sin \alpha) \right] \\
& + B_{12t} \Psi_{xt,x} \cos \alpha + B_{22t} \frac{\cos \alpha}{R_t} [\Psi_{\theta t,\theta} + \Psi_{xt} \sin \alpha] \\
& + B_{26t} \left[\Psi_{\theta t,x} \cos \alpha + \frac{\cos \alpha}{R_t} (\Psi_{xt,\theta} - \Psi_{\theta t} \sin \alpha) \right] \\
& -k G_{xzt} d_t (\Psi_{xt} + w_{t,x}) \sin \alpha - R_t k G_{xzt} d_t (\Psi_{xt,x} + w_{t,xx}) \\
& -k G_{\theta zt} d_t \left(\Psi_{\theta t,t} + \frac{w_{t,\theta\theta} - v_{t,\theta} \cos \alpha}{R_t} \right) \\
& - \left[(R_t N_{x0}^t w_{t,x} + N_{x\theta 0}^t w_{t,\theta})_{,x} + \left(\frac{1}{R_t} N_{\theta 0}^t w_{t,\theta} + N_{x\theta 0}^t w_{t,x} \right)_{,\theta} \right] \\
& + \frac{\tau_{\theta,\theta}}{r_{tc} \cos \alpha} \left[\frac{r_{tc} - r_{bc}}{r_{bc} \ln \left(\frac{r_{bc}}{r_{tc}} \right)} + 1 \right] \cos \alpha \\
& -\tau_{x,x} \left[\frac{r_{tc} - r_{bc}}{\ln \left(\frac{r_{bc}}{r_{tc}} \right)} + r_{tc} \right] \cos \alpha \\
& + \frac{E_c}{\ln \left(\frac{r_{bc}}{r_{tc}} \right)} (w_b - w_t) \cos \alpha = 0 \tag{16}
\end{aligned}$$

$$\begin{aligned}
& A_{12b} u_{b,x} \cos \alpha + A_{22b} \frac{\cos \alpha}{R_b} [v_{b,\theta} + u_b \sin \alpha + w_t \cos \alpha] \\
& + A_{26t} \left[v_{t,x} \cos \alpha + \frac{\cos \alpha}{R_t} (u_{t,\theta} - v_t \sin \alpha) \right] \\
& + B_{12t} \Psi_{xt,x} \cos \alpha - B_{22t} \frac{\cos \alpha}{R_t} [\Psi_{\theta t,\theta} + \Psi_{xt} \sin \alpha] \\
& + B_{26t} \left[\Psi_{\theta t,x} \cos \alpha + \frac{\cos \alpha}{R_t} (\Psi_{xt,\theta} - \Psi_{\theta t} \sin \alpha) \right] \\
& -k G_{xzt} d_t (\Psi_{xt} + w_{t,x}) \sin \alpha - R_t k G_{xzt} d_t (\Psi_{xt,x} + w_{t,xx}) \\
& -k G_{\theta zt} d_t \left(\Psi_{\theta t,t} + \frac{w_{t,\theta\theta} - v_{t,\theta} \cos \alpha}{R_t} \right)
\end{aligned}$$

بررسی می‌شود. این حالت، شامل تعداد زوج از لایه‌های ارتوتروپیک روی هم با جهات مادی اصلی در ۰ و ۹۰ درجه می‌باشد. با ساده کردن روابط بالا برای این حالت خاص $A_{kli}, B_{kli}, D_{kli} (i=t, b)$ بصورت رابطه (22) تعریف می‌گرددند:

$$\begin{aligned} A_{11i} &= A_{\sim\sim i} = \frac{1}{1}(Q_{11i} + Q_{2\sim\sim})h \\ D_2 &= \pm \sqrt{(1 - h^2)^2 - k^2} \\ (Q_{11i} + Q_{22i})h^3, D_{12i} &= \frac{1}{12}Q_{12i}h^3 \\ D_{66i} &= \frac{1}{12}Q_{66i}h^3 A_{k6i} = B_{k6i} = D_{k6i} = 0 \quad \text{ک} = 1, 2 \quad (22) \end{aligned}$$

5-3 حل مسئله کمانش پوسته مخروطی با هسته انعطاف‌پذیر

برای به دست آوردن پاسخ پوسته مخروطی ساندویچی، پاسخ به صورت سری‌های توانی مطابق رابطه (23) در نظر گرفته می‌شوند:

$$\begin{aligned} u_i(x, \theta) &= \sum_{m=0}^{\infty} a_{mi}x^m \cos n\theta \\ v_i(x, \theta) &= \sum_{m=0}^{\infty} b_{mi}x^m \sin n\theta \\ w_i(x, \theta) &= \sum_{m=0}^{\infty} c_{mi}x^m \cos n\theta \\ \psi_{xi}(x, \theta) &= \sum_{m=0}^{\infty} d_{mi}x^m \cos n\theta \quad i = (t, b) \\ \psi_{\theta i}(x, \theta) &= \sum_{m=0}^{\infty} f_{mi}x^m \sin n\theta \\ \tau_x(x, \theta) &= \sum_{m=0}^{\infty} g_{mi}x^m \cos n\theta \\ \tau_{\theta}(x, \theta) &= \sum_{m=0}^{\infty} h_{mi}x^m \sin n\theta \quad (23) \end{aligned}$$

که n نمایانگر عدد موج محیطی پوسته کمانه شده و ضرایب $a_{mi}, b_{mi}, c_{mi}, d_{mi}, f_{mi}, g_{mi}$ به سیله روابط بازگشتی بدست می‌آیند. با قرار دادن حل‌های فوق (وابط 23) در معادلات پوسته ساندویچی به دست آمده در معادلات (21)-(12)، روابط بازگشتی به دست می‌آید. روابط بازگشتی این امکان را می‌دهد تا ثابت نامشخص ضرایب، ثابت مجھولی هستند که با در نظر گرفتن شرایط مرزی در هر دو انتهای مخروط بدست می‌آیند. برای به کار بستن شرایط مرزی محاسبه می‌شوند. $N_x^i, w_i, M_x^i, v_i, M_{x\theta}^i, \tau_{xrc}$ از شرایطی که دترمینان ماتریس ضرایب حاصل از اعمال شرایط مرزی در هر دو انتهای مخروط یا استوانه برابر صفر است، بدست می‌آید. همگرایی بار بحرانی کمانش هم با افزایش m از ۰ تا ۷۵ بررسی شده است. مراحل گفته شده در بالا، الگوریتم حل مسئله فوق است که بصورت یک کد کامپیوترا در نرم‌افزار متلب^۱ نوشته شده است. ورودی‌های مسئله هم، ابعاد، هندسه و خصوصیات مواد در رویه‌ها و هسته هستند.

6-3 شرایط مرزی

شرایط مرزی متناظر برای لبه‌های دو سرگیردار و تکیه‌گاه ساده به شرح زیر

$$\begin{aligned} &-D_{26t} \left[2\Psi_{\theta t, x\theta} + \Psi_{xt,x} \sin \alpha + \frac{\Psi_{xt,\theta\theta} + \Psi_{xt} \sin^2 \alpha}{R_t} \right] \\ &-B_{16t} \left[2u_{t,x} \sin \alpha + R_t u_{t,xx} \right] \\ &-B_{66t} \left[v_{t,x} \sin \alpha + u_{t,x\theta} + R_t v_{t,xx} \right. \\ &\quad \left. + \frac{u_{t,\theta} \sin \alpha - v_t \sin^2 \alpha}{R_t} \right] \\ &-D_{16t} \left[2\Psi_{xt,x} \sin \alpha + R_t \Psi_{xt,xx} \right] \\ &-D_{66t} \left[\Psi_{\theta t,x} \sin \alpha + R_t \Psi_{\theta t,xx} + \Psi_{xt,x\theta} \right. \\ &\quad \left. + \frac{\Psi_{xt,\theta} \sin \alpha - \Psi_{\theta t} \sin^2 \alpha}{R_t} \right] \\ &+ R_t k G_{\theta zt} d_t \left(\Psi_{\theta t} + \frac{w_{t,\theta} - v_t \cos \alpha}{R_t} \right) \\ &- \frac{\tau_{\theta}}{r_{tc}} \frac{d_t}{2} \cos \alpha = 0 \quad (20) \end{aligned}$$

$$\begin{aligned} &-B_{12b} \frac{u_{b,\theta\theta} + u_{b,\theta} \sin \alpha + w_{b,\theta} \cos \alpha}{R_b} \\ &-B_{26b} \left[2v_{b,x\theta} + u_{b,x} \sin \alpha + w_{b,x} \cos \alpha \right. \\ &\quad \left. + \frac{u_{b,\theta\theta} + u_b \sin^2 \alpha + w_b \sin \alpha \cos \alpha}{R_b} \right] \\ &-D_{12b} \Psi_{xb,x\theta} - D_{22b} \frac{\Psi_{\theta b,\theta\theta} + \Psi_{xb,\theta} \sin \alpha}{R_b} \\ &-D_{26b} \left[2\Psi_{\theta b,x\theta} + \Psi_{xb,x} \sin \alpha \right. \\ &\quad \left. + \frac{\Psi_{xb,\theta\theta} + \Psi_{xb} \sin^2 \alpha}{R_b} \right] \\ &-B_{16b} \left[2u_{b,x} \sin \alpha + R_b u_{b,xx} \right] \\ &-B_{66b} \left[v_{b,x} \sin \alpha + u_{b,x\theta} + R_b v_{b,xx} \right. \\ &\quad \left. + \frac{u_{b,\theta} \sin \alpha - v_b \sin^2 \alpha}{R_b} \right] \\ &-D_{16b} \left[2\Psi_{xb,x} \sin \alpha + R_b \Psi_{xb,xx} \right] \\ &-D_{66b} \left[\Psi_{\theta b,x} \sin \alpha + R_b \Psi_{\theta b,xx} + \Psi_{xb,x\theta} \right. \\ &\quad \left. + \frac{\Psi_{xb,\theta} \sin \alpha - \Psi_{\theta b} \sin^2 \alpha}{R_b} \right] \\ &+ R_b k G_{\theta zb} d_b \left(\Psi_{\theta b} + \frac{w_{b,\theta} - v_b \cos \alpha}{R_b} \right) \\ &- \frac{\tau_{\theta}}{r_{hc}} \frac{d_b}{2} \cos \alpha = 0 \quad (21) \end{aligned}$$

به این ترتیب معادلات حاکم بر حسب مقادیر نامعلوم مسئله جابجایی‌های طولی، محیطی، و شعاعی، صفحه میانی رویه‌ها و مؤلفه‌های ناشی از این اتفاقات - نشانه‌هایی برشی هسته، ($i = t, b$) $\tau_{\theta}, \tau_i, \Psi_{\theta i}, \Psi_{xi}, w_i, v_i, u_i$ ارائه می‌شوند. بنابراین در مجموع ۱۲ معادله و ۱۲ مجھول بدست می‌آید.

با قرار دادن $\alpha = 0$ در معادلات بدست آمده، معادلات حاکم بر پوسته‌های ساندویچی استوانه‌ای استخراج می‌شود. بدیهی است معادلات حاکمه مرتبه بالاتر برای یک پوسته مخروطی بسیار پیچیده است و به نظر می‌رسد

بدست آوردن حل‌های تحلیلی دقیق غیرممکن است. در بخش بعدی روش حل سری‌های توانی برای بدست آوردن یک حل دقیق مسئله ارائه می‌شود.

لازم به ذکر است که در این پژوهش، ورقه‌های نامتقارن متعامد مطالعه و

مسئله برای تحلیل سازه نیاز به دو نوع آنالیز است. اول باید با شرایط برگذاری و شرایط مرزی پوسته را تحت آنالیز استاتیکی قرار داده و در ضمن تنظیمات لازم برای حل کمانش نیز انجام شود تا نرمافزار، تنش‌های ایجاد کننده ناپایداری استاتیکی در پوسته را ذخیره نماید. سپس با انتخاب نوع آنالیز کمانش، بارهای بحرانی استخراج می‌شوند. در این تحقیق، از آجایی که حجم محاسبات الگوریتم بهینه‌سازی زیاد و نسبتاً زمان بر می‌باشد، آنالیز خطی کمانش انتخاب شده است. همگرایی جواب‌های بدست آمده با این روش، نشان دهنده صحت و دقت نتایج می‌باشد. شماتیک المان بندی شده پوسته‌های مخروطی و استوانه‌ای ساندویچی در شکل 3 آمده است.

بارهای بحرانی کمانش پوسته‌های مخروطی ساندویچی کامپوزیتی با $L/R_1=8$ و لایه چینی $(0/90/0/90)$ و $(0/90/0/90)$ هسته $(0/90/0/90)$ و شرایط مرزی مختلف با روش تحلیلی اشاره شده در پژوهش فوق و روش المان محدود بدست آمده و مورد مقایسه قرار گرفته است، که نتایج آن در جدول 1 آمده است. نتایج حاصل نشان می‌دهد که روش تحلیلی فوق با روش المان محدود، بطری کامل در تطابق است و اختلاف نتایج بدست آمده بسیار ناچیز بوده و در بدترین حالت آن، کمتر از 5٪ است.

برخی پارامترهای هندسی مثل ضخامت اثرات مهمی بر روی رفتار دینامیکی پوسته دارد. اثر ضخامت بر روی بارهای کمانش در جدول 2 بررسی شده است. برای این هدف، پوسته مخروطی با نیمزاویه رأس مخروط 30 درجه ($\alpha = 30^\circ$) و با فرض ثابت ماندن R_1 و نسبت ضخامت رویه به ضخامت هسته، نسبت ضخامت به شعاع (h/R_1) از 0.1 تا 0.4 مورد بررسی قرار گرفته است. نتایج نشان می‌دهد که افزایش در ضخامت باعث افزایش بار کمانش می‌شود، همچنین نتایج حاصل نشان می‌دهد که برای شرایط مرزی مختلف در هر نسبت ضخامتی، افزایش نسبت ضخامت به شعاع، افزایش پارامتر فرکانس متناظر را در بردارد.

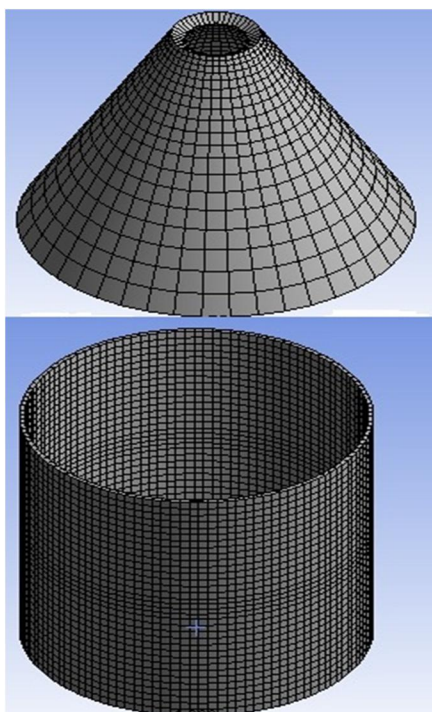


Fig. 3 Geometry of finite element of truncated conical and cylindrical sandwich shells

شکل 3 هندسه المان محدود پوسته‌های استوانه‌ای و مخروطی ساندویچی

است که در این پژوهش دوشرط مرزی در $x = \pm \frac{L}{2}$ بررسی شده است:

$$u_i = 0, v_i = 0, w_i = 0, \psi_{xi} = 0, \psi_{\theta i} = 0 \quad (CC) \quad (24)$$

$$N_x^i = 0, v_i = 0, w_i = 0, M_x^i = 0, \tau_{xrc} = 0 \quad (SS) \quad (25)$$

که منتجه‌های تنش و گشتاور به منظور به کار بستن شرایط مرزی به صورت روابط (26-28) نوشته می‌شوند:

$$\begin{aligned} N_x^i &= A_{11i} \sum_{m=0}^{\infty} m a_{mi} x^{m-1} \cos n\theta \\ &+ \frac{A_{12i}n}{R_i} \sum_{m=0}^{\infty} b_{mi} x^m \cos n\theta \\ &+ \frac{A_{12i} \sin \alpha}{R_i} \sum_{m=0}^{\infty} a_{mi} x^m \cos n\theta \\ &+ \frac{A_{12i} \cos \alpha}{R_i} \sum_{m=0}^{\infty} c_{mi} x^m \cos n\theta \\ &+ B_{11i} \sum_{m=0}^{\infty} m d_{mi} x^{m-1} \cos n\theta \end{aligned} \quad (26)$$

$$\begin{aligned} M_x^i &= B_{11i} \sum_{m=0}^{\infty} m b_{mi} x^{m-1} \cos n\theta \\ &+ D_{11i} \sum_{m=0}^{\infty} m d_{mi} x^m \cos n\theta \\ &+ \frac{D_{12i}n}{R_i} \sum_{m=0}^{\infty} f_{mi} x^m \cos n\theta \\ &+ \frac{D_{12i} \sin \alpha}{R_i} \sum_{m=0}^{\infty} g_{mi} x^m \cos n\theta \end{aligned} \quad (27)$$

$$\begin{aligned} M_{x\theta}^i &= D_{66i} \sum_{m=0}^{\infty} m f_{mi} x^{m-1} \sin n\theta \\ &- \frac{D_{66i}n}{R_i} \sum_{m=0}^{\infty} g_{mi} x^{m-1} \sin n\theta \\ &+ \frac{D_{66i} \sin \alpha}{R_i} \sum_{m=0}^{\infty} f_{mi} x^m \sin n\theta \end{aligned} \quad (28)$$

در نهایت بارهای بحرانی کمانش و شکل مدهای مربوطه، با برابر صفر قراردادن دترمینان ماتریس ضرایب حاصل از به کار بستن شرایط مرزی در هردو انتهای مخروط بدست می‌آید.

4- اعتبارسنجی روش به کار رفته در تحلیل کمانش سازه ساندویچی کامپوزیتی

در این بخش به منظور اعتبارسنجی، نتایج بدست آمده با روش تحلیلی با روش المان محدود مقایسه می‌شود. برای آنالیز المان محدود از نرمافزار انسیس 15 استفاده شده است. مقادیر ورودی لازم برای تعریف المان، تعداد رویه‌ها، ضخامت هر رویه، ضخامت هسته، جنس رویه‌ها، جنس هسته، جهت گیری الیاف، لایه چینی، ضربی بواسون در جهات اصلی المان و مدول یانگ و برشی مربوط به جنس پوسته در جهات اصلی المان است. در این

1- Clamped-Clamped
2- Simply-Supported

جدول ۱ مقایسه بارهای کمانش با روش‌های تحلیلی و المان محدود

Table 1 Comparing of buckling loads with analytical and finite element methods

روش	شرایط مرزی		تکیه گاه ساده		دو سر گیردار		المان محدود	
	بارهای بحرانی / لایه چینی	$p_{cr} \times 10^5$ (N)	تحلیلی $q_{cr} \times 10^5$ (Pa)	المان محدود $p_{cr} \times 10^5$ (N)	المان محدود $q_{cr} \times 10^5$ (Pa)	تحلیلی $p_{cr} \times 10^5$ (N)	تحلیلی $q_{cr} \times 10^5$ (Pa)	المان محدود $p_{cr} \times 10^5$ (N)
(0/90/0/90) هسته	2.9	1.2	2.98	1.21	2.85	1.2	2.97	1.21
(0/90/0/90) هسته	1.3	0.9	1.31	0.947	1.3	0.9	1.31	0.948

کامپوزیتی 100 کیلوگرم می‌باشد [1].

$$\text{Objective Function} = \min (m_{\text{fairing}})$$

5-1-2- تعیین متغیرهای طراحی

متغیرهای طراحی یک مجموعه از متغیرها هستند که سیستم را توصیف می‌کنند، آنها طوری انتخاب می‌شوند که یک طراحی را به طور منحصر به فرد مشخص کنند، این متغیرها باید دوچرخه دو مستقل باشند. بنابراین انتخاب متغیرهای طراحی که تابع هدف را مینیمم کرده و همزمان تمامی قیود را برآورده می‌کند، یک طراحی بهینه است.

متغیرهای طراحی سازه فیرینگ شامل ضخامت هر رویه داخلی (d_0)، تعداد لایه‌های رویه داخلی (n_0)، ضخامت هسته (t_0)، ضخامت هر رویه بیرونی (d_1) و تعداد لایه‌های رویه بیرونی (n_1) است. توجه: (لایه چینی الیاف بصورت لایه‌های نامتقارن متعامد^۱ در نظر گرفته شده است).

5-3-1- قیود اعمالی در بهینه‌سازی

تقریباً تمام مسائل واقعی بهینه سازی طراحی مسائل محدود هستند، یعنی بر روی مشخصات کارایی یک سیستم مهندسی بعضی محدودیتها وجود دارد. فرموله کردن یک مسئله ریاضی می‌تواند شامل چند قید یعنی محدودیتهایی که بر روی بعضی رفتارهای مسئله اعمال می‌شود، باشد.

- قیود مرزهای فضای طراحی ممکن را مشخص می‌کنند.

- قیود می‌تواند بر روی موارد زیر اعمال شوند: هزینه، تنش معادل و بار بحرانی کمانش.

از آنجا که یکی از مهمترین پارامترهای مؤثر در استحکام سازه، موضوع کمانش است، این موضوع به عنوان قید اصلی در بهینه‌سازی، در نظر گرفته شده است.

$$\frac{p}{p_{cr}} + \frac{q}{q_{cr}} \leq 1$$

p و q بارهای واردہ بر فیرینگ هستند که از دیسیپلین مسیر محاسبه می‌شوند، بارهای بحرانی p_{cr} و q_{cr} از تحلیل سازه بدست می‌آیند.

5-4- فرایند بهینه سازی

در این پژوهش، برای بهینه‌سازی مسئله، از نرم‌افزار متلب استفاده شده است. همانطور که ذکر شد، بهینه‌سازی، با استفاده از الگوریتم ترکیبی انجام گردید. بطوری که ابتدا با استفاده از الگوریتم ژنتیک، نقطه اولیه مناسبی را پیدا کرده و با این نقطه اولیه بهینه‌سازی با روش سیمپلکس ادامه می‌یابد. یکی از مزایای این روش آن است که همگرا شدن به نقطه بهینه با سرعت بیشتری اتفاق می‌افتد.

پس از انجام فرایند بهینه‌سازی، با رسم داده‌های باقی‌مانده، روند حرکت تابع هدف به سمت کمترین مقدار آشکار می‌شود، به عنوان نمونه، روند

1- Anti-symmetric cross-ply Laminates

جدول ۲ اثر ضخامت بر روی فرکانس پوسته مخروطی ساندویچی کامپوزیتی

Table 2 Effect of thickness on the frequency of the composite sandwich conical shell

شرط مرزی	تکیه گاه ساده	دو سر گیردار		المان محدود
		المان محدود	المان	
h/R_1	تحلیلی	المان محدود	المان	تحلیلی
0.1	0.77	0.7798	0.78	0.78009
0.2	1.5	1.5062	1.501	1.5064
0.4	3	3.013	3.01	3.0131

5- بهینه‌سازی سازه فیرینگ ماهواره‌بر

5-1- تعریف مسئله بهینه‌سازی طراحی

بهینه سازی طراحی، یافتن یک طراحی منطقی است که بهترین طراحی ممکن برای دستیابی به یک هدف معین با توجه به قیود هندسی و عملکردی می‌باشد.

برای تبدیل مسئله طراحی یک سیستم فضایی در قالب مسئله بهینه سازی مقید، باید تابع هدف، متغیرهای طراحی و محدودهای بالا و پایین برای هر یک را مشخص نمود. در ادامه همچنین باید قیود تساوی و نامساوی را که محدوده‌ها را تعیین می‌کنند مشخص کرد. تابع هدف، میزان بهینه بودن طراحی را کمی کرده و بصورت معیاری که جستجو را مشخص می‌کند، عمل می‌نماید. قیود، طراحی قابل قبول را مشخص می‌نماید. با داشتن یک مسئله بهینه‌سازی مقید به فرم ریاضی، برای مدل طراحی مفهومی سیستم فضایی یک حل مقید که تابع هدف را بهینه می‌کند (مینیمم - ماکزیمم)، به عنوان الگوریتمی تعریف می‌شود که گزینه‌های مناسب جهت سیستم را بر اساس معیارهای ارزیابی استخراج می‌کند.

مراحل فرموله کردن مسئله شامل سه بخش عمدۀ مشخص کردن پارامترهای طراحی (متغیرهای طراحی)، تابع هدف طراحی و مشخص کردن قیود می‌باشد.

در این پژوهش، هدف طراحی بهینه سازه ساندویچی کامپوزیتی فیرینگ یک ماهواره‌بر ساخت مایع دو مرحله‌ای است. به عنوان مثال، ماموریت ماهواره‌بر سفیر، انتقال یک ماهواره 50 کیلوگرمی (سفیر امید) به مدار دایری در ارتفاع 250 کیلومتری و سرعت مداری 7755 متر بر ثانیه است. براین اساس در این بخش از کار، بایستی مراحل زیر انجام شوند:

5-1-1- تعیین تابع هدف

برای بهبود طراحی، بایستی حرکت در جهت کاهش هدف باشد به نحوی که از قیود تجاوز نکند. در این مسئله، تابع هدف مینیمم کردن جرم فیرینگ است. لازم به ذکر است که وزن فیرینگ سفیر با ساختار مشبك و

بهینه سازی، متغیرهای طراحی و تابع هدف با ارضای قیود مربوطه بدست می آید. نتایج حاصل از بهینه سازی دو بخش فیرینگ در جدول ۱۴ آمده است.

جرم کل فیرینگ بصورت رابطه (29) محاسبه می شود:

$$m_{\text{fairing}} = (m_{\text{cylindrical}} + m_{\text{conical}}) \times 1.05 \quad (29)$$

که با توجه به نتایج بدست آمده جرم فیرینگ برای شرط مرزی تکیه گاه ساده ۶۱.۲۶ کیلوگرم و برای شرط مرزی دوسرگیردار ۵۷.۲۵ کیلوگرم خواهد شد.

6- نتیجه گیری

همان طور که در چکیده هم اشاره شده، این پژوهش در دو فاز انجام گرفته است. در بخش اول، تحلیل کمانش سازه مخروطی ساندویچی کامپوزیتی با استفاده از تئوری های مرتبه بالا انجام گرفت که نتایج حاصل از روش تحلیلی با روش المان محدود مورد مقایسه قرار گرفته است، نتایج حاصل که در جداول ۱ و ۲ آمده، حاکی از صحت و دقیقیت روش به کار رفته است. اختلاف نتایج بدست آمده بسیار ناچیز و در بدترین حالت به کمتر از ۵ درصد می رسد. در فاز دوم، بهینه سازی سازه با استفاده از الگوریتم ترکیبی انجام گرفته است. نتایج بهینه سازی نشان می دهد که وزن فیرینگ ماهواره بر نمونه در این مطالعه نسبت به فیرینگ مشابه واقعی آن حدود ۴۰% کاهش یافته است که این نتیجه مهم می تواند باعث کاهش وزن کل ماهواره بر و در نهایت کاهش هزینه شود. از طرفی با این کاهش وزن می توان محموله سنگین تری را در مدار قرار داد. شایان ذکر است این کاهش وزن قابل توجه، ناشی از تغییر همزمان جنس سازه و بهینه سازی می باشد که البته بخش عمدۀ این کاهش وزن به دلیل تغییر جنس به سازه ساندویچی کامپوزیتی با هسته فوم بوده و با بهینه سازی، کاهش وزن بیشتری هم حاصل شده است. به دلیل نداشتن اطلاعات لازم در مورد خصوصیات سازه به کار رفته در فیرینگ سفیر (بیویژه خاصت) تفکیک درصد کاهش وزن ناشی از تغییر جنس و درصد کاهش ناشی از بهینه سازی امکان پذیر نبود.

7- مراجع

- [1] *Informations of spacerockets*, Accessed 10 January 2015; http://www.b14643.de/Spacerockets_1/Rest_World/Safir-1-IRILV/Description/Frame.htm.
- [2] L. Tong, TK. Wang, Buckling analysis of laminated composite conical shells, *Composites Science and Technology*, Vol. 47, pp. 57–63, 1993.
- [3] AH. Sofiyev, The buckling of an orthotropic composite truncated conical shell with continuously varying thickness subject to a time dependent external pressure, *International Journal of Composite Materials*: Part B, Vol. 34, No. 3, pp. 227-233, 2003.
- [4] C. Zhong, H-G. Reimerdes, Stability behavior of cylindrical and conical sandwich shells with flexible core, *Journal of Sandwich Structures and Materials*, Vol. 9, No. 2, pp. 143-166, 2007.
- [5] A. Lavasani, Simple solutions for buckling of conical shells

Table 4 The results of the optimization of the fairing under different boundary conditions

part	B.C.	n_b	d_b (mm)	t_c (mm)	n_t	d_t (mm)	m (kg)	p_{cr} (kN)	q_{cr} (MPa)
مخروطی	SS	12	0.48	14.8	12	0.4867	33.8884	50	4.5
	CC	10	0.45	15.4	10	0.51	33.9078	50	3
استوانه ای	SS	10	0.476	15.3	10	0.497	24.4560	50	5
	CC	8	0.48	20	8	0.49	20.6092	50	2

بهینه سازی پوسته مخروطی فیرینگ تحت شرایط مرزی تکیه گاه ساده در شکل ۴ بخوبی نمایانگر این بحث است.

مسئله مورد نظر عبارت است از یافتن تعداد لایه های رویه های بیرونی و داخلی، ضخامت رویه های بیرونی و داخلی و ضخامت هسته، با انتخاب مناسب ترین جنس ماده که خواص آن در جدول ۳ آورده شده است (این ماده بر اساس تحقیقی که در خصوص جنس فیرینگ ماهواره برهای روز دنیا انجام گرفته، انتخاب شده است)، برای دستیابی به کمترین وزن و بیشترین استحکام بطوری که قادر به انجام ماموریت تعریف شده باشد.

فیرینگ که از دو بخش استوانه ای و مخروطی تشکیل شده، بعد از آن را با بعد ماهواره برق سفیر شبیه سازی نموده و هر دو بخش آن را تحت شرایط مرزی مختلف دوسرگیردار و تکیه گاه ساده و بارگذاری ترکیبی نیروی محوری P و فشار یکنواخت عمود بر سطح q مورد آنالیز قرار گرفته و پس از

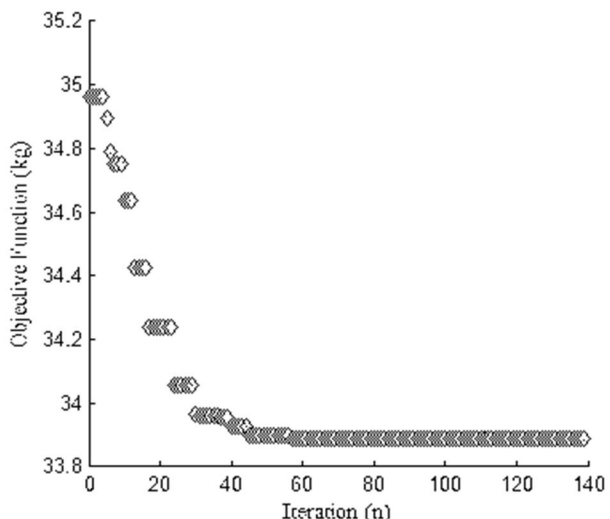


Fig. 4 Weight optimization graph of conical shell of fairing

شکل ۴ نمودار بهینه سازی وزن پوسته مخروطی فیرینگ ماهواره برق سفیر

جدول ۳ خواص مواد به کار رفته در پوسته ساندویچی کامپوزیتی مخروطی

Table 3 Material properties used in conical composite sandwich shell

خواص رویه ها	خواص هسته
$E_1=131\text{GPa}$,	$E_1=E_2=E_3=0.00689\text{GPa}$
$E_2=E_3=10.34\text{GPa}$	$G_{12}=G_{23}=G_{13}=0.00345\text{GPa}$
$G_{12}=G_{23}=6.895\text{GPa}$,	$v=0$
$G_{13}=6.205\text{GPa}$	$\rho=97\text{kg/m}^3$
$v_{12}=v_{13}=0.22$,	$v_{23}=0.49$
$\rho=1627\text{kg/m}^3$	

جدول ۴ نتایج حاصل از بهینه سازی دو بخش فیرینگ تحت شرایط مرزی مختلف

- [14] H. Salimi, B. Saranjam, A. Hoseini Fard, M. Ahmadzadeh, Use of genetic algorithms for optimal design of sandwich panels subjected to underwater shock loading, *Journal of Mechanical Engineering*, Vol. 58, No. 3, pp. 156-164, 2012.
- [15] C. Yuan, O. Bergsma, S. Koussios, L. Zu, A. Beukers, Optimization of sandwich composites fuselages under flight loads, *Applied Composite Materials*, Vol. 19, pp. 47–64, 2012.
- [16] C. Yuan, N.B. Roozen, O. Bergsma, A. Beukers, Multi-discipline optimization of sandwich cylinders under a point force excitation, *Aerospace Science and Technology*, Vol. 30, No. 1, pp. 183-191, 2013.
- [17] R. Ullah, D. Zhou, P. Zhou, M. Hussain, M. AmjadSohail, An approach for space launch vehicle conceptual design and multi-attribute evaluation, *Aerospace Science and Technology*, Vol. 25, No. 1, pp. 65-74, 2013.
- [18] Y. Ma, X. Yao, Y. Su, Shape optimization and material gradient design of the sharp hot structure, *Acta Astronautica*, Vol. 103, pp. 106-112, 2014.
- [19] S. Ebrahimi, N. Vahdatzad, Multiobjective optimization and sensitivity analysis of honeycomb sandwich cylindrical columns under axial crushing loads, *Thin-Walled Structures*, Vol. 88, pp. 90-104, 2015.
- [20] A. Baroutaji, M. D. Gilchrist, D. Smyth, A. G. Olabi, Analysis and optimization of sandwich tubes energy absorbers under lateral loading, *International Journal of Impact Engineering*, In Press, Corrected Proof, Available online 7 February 2015.
- [21] J. N. Reddy, *Mechanics of laminated composite plates and shells: theory and analysis*, Second Edition, pp. 449-480, Texas, 2004.
- composed of functionally graded materials, *Journal of Solid Mechanics*, Vol. 1, No. 2, pp. 108-117, 2009.
- [6] F. Shadmehri, SV. Hoa, M. Hojjati, Buckling of conical composite shells, *Composite Structures*, Vol. 94, No. 2, pp. 787–792, 2012.
- [7] AH. Sofiyev, The vibration and buckling of sandwich cylindrical shells covered by different coatings subjected to the hydrostatic pressure, *Composite Structures*, Vol. 117, pp. 124–134, 2014.
- [8] O. Rahmani, SMR. Khalili, K. Malekzadeh, Free vibration response of composite sandwich cylindrical shell with flexible core, *Composite Structures*, Vol. 92, No. 5, pp. 1269–1281, 2010.
- [9] K. Malekzadeh, MR. Khalili, RK. Mittal, Local and global damped vibrations of plates with a viscoelastic soft flexible core: an improved high-order approach, *Journal of Sandwich Structures & Materials*, Vol. 7, No. 5, pp. 431–456, 2005.
- [10] K.M. Fard, M. Livani, The buckling of truncated conical sandwich panels under axial compression and external pressure, *Proceedings of the Institution of Mechanical Engineers, Part C: Journal of Mechanical Engineering Science*, Vol. 229, pp. 1965-1978, 2015.
- [11] H. Biglari, AA. Jafari, High-order free vibrations of doubly-curved sandwich panels with flexible core based on a refined three-layered theory, *Composite Structures*, Vol. 92, No. 11, pp. 2685–2694, 2010.
- [12] J. Seidi, , S.M.R. Khalili, K. Malekzadeh, Temperature-dependent buckling analysis of sandwich truncated conical shells with FG facesheets, *Composite Structures*, Vol. 131, pp. 682-691, 2015.
- [13] J. Bayley Douglas, *Design optimization of a space launch vehicle using a genetic algorithm*, PhD Thesis, Auburn University, Auburn, Alabama, 2007.